

بِسْمِ اللّٰهِ الرَّحْمٰنِ الرَّحِيْمِ

١١٤٣٢



دانشگاه اصفهان
دانشکده فنی و مهندسی
گروه مهندسی شیمی

پایان نامه‌ی کارشناسی ارشد رشته‌ی مهندسی شیمی

مدل‌سازی ریاضی و شبیه سازی جذب گاز CO_2 در راکتورهای دارای جريان‌های برخوردي محوري

استادان راهنما:

دکتر امیر رحیمی

دکتر محمد رضا احسانی

پژوهشگر:

امیر حسین هرنده زاده

۱۳۸۸/۴/۲

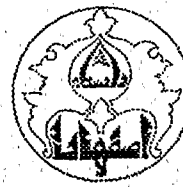
اسفند ماه ۱۳۸۷

آذربایجان، خلاعات مرکز صنعتی زرند
تمسته مرکز

۱۱۴۳۳۱

کلیه حقوق مادی مترتب بر نتایج مطالعات،
ابتكارات و نوآوری های ناشی از تحقیق موضوع
این پایان نامه متعلق به دانشگاه اصفهان است.

پیووه کارشناسی پژوهیان
رئاست شوراه است
تخصصات تکمیلی دانشگاه اصفهان



دانشگاه اصفهان

دانشکده فنی و مهندسی

گروه مهندسی شیمی

پایان نامه‌ی کارشناسی ارشد رشته‌ی مهندسی شیمی
آقای امیر حسین هرنده زاده تحت عنوان

مدلسازی ریاضی و شبیه سازی جذب گاز CO_2 در راکتورهای دارای
جريان‌های برخوردي محوري

در تاریخ ۱۳۸۷/۱۲/۵ توسط هیأت داوران زیر بررسی و با درجه عالی به تصویب نهایی رسید.

۱- استاد راهنمای پایان نامه دکتر امیر رحیمی با مرتبه‌ی علمی استادیار

۲- استاد راهنمای پایان نامه دکتر محمد رضا احسانی با مرتبه‌ی علمی دانشیار

۳- استاد داور داخل گروه دکتر محمد صادق حاتمی پور با مرتبه‌ی علمی استادیار

۴- استاد داور خارج از گروه دکتر ارجمند مهربانی با مرتبه‌ی علمی دانشیار

امضاي مدیر گروه

دکتر علی رضا سلامان نظر

سپاسگذاری:

پروردگار را شاکرم که به من قدرت تفکر و یادگیری عطا فرمود و به من فرصت داد تا در مسیر کسب علم گام بردارم.
از پدر و مادر عزیزم که در تمام مراحل زندگی یاور و پشتیبان من بودند صمیمانه تشکر می‌کنم.
از جناب دکتر امیر رحیمی و جناب آقای دکتر محمد رضا احسانی که در کلیه مراحل این پژوهش با صبر و شکیبایی مشوق و
راهنمای من بودند کمال تشکر را دارم که بدون یاری این دو بزرگوار انجام این پژوهش هرگز میسر نمی‌گشت و برای این دو
استاد ارجمند آرزوی سلامتی و موفقیت دارم.

تقدیم به مدرومادرم

به خاطر مهربانی هاشان

چکیده:

در این پژوهش، مدلسازی ریاضی و شبیه‌سازی جذب فیزیکی و واکنشی غیر همدماهی گاز دی اکسید کربن در یک راکتور دارای جریان‌های برخورده ممحوری مورد توجه قرار گرفته است. با استفاده از داده‌های توزیع زمان ماند، رفتار هیدرودینامیکی غیرایده‌آل این سیستم با آرایشی از سیستم‌های ایده‌آل نظری مخزن همزده ایده‌آل و یا راکتور با جریان قالبی جایگزین و مورد مدلسازی ریاضی قرار گرفته است. از معادلات حاکم بر عملکرد این سیستم‌ها در قالب سه مدل مجزا شامل مدل‌های راکتور با جریان قالبی، مدل مخزن‌های همزده سری و آنالیز احتمال Markov-Chain جهت مدلسازی رفتار سیستم واقعی استفاده شده است. همچنین توزیع اندازه قطرات جهت دستیابی به مدل واقعی تر به جای استفاده از یک اندازه متوسط برای قطر قطره به کار برده شده است. مقایسه دقت نتایج حاصل از مدل‌ها با نتایج آزمایشگاهی گزارش شده حاکی از دقت قابل قبول مدل‌های پیشنهادی است. همچنین تاثیر پارامترهای عملیاتی بر میزان سرعت جذب و کسر مولی جزء جذب‌شونده در فاز گازی مورد بررسی و تجزیه و تحلیل قرار گرفته است. از میان مدل‌های پیشنهادی در صورت وجود داده‌های توزیع زمان ماند مرتبط با شرایط عملیاتی، آنالیز احتمال Markov-Chain قابلیت توسعه و تطبیق بهتر با سیستم را از خود نشان می‌دهد. مدل همچنین به کمک مدل‌های پیش‌گفته جذب شیمیایی در این نوع سیستم‌ها مورد بررسی قرار گرفته است. علاوه بر این مقایسه‌ای بین سیستم‌های متداول جذب با راکتورهای دارای جریان‌های برخورده صورت گرفته و مزیت این سیستم‌ها در قالب ضرایب کلی انتقال جرم حجمی نشان داده شده است. نتایج این تحقیق نشان می‌دهد راکتورهای با جریان‌های برخورده در مواردی که مقاومت انتقال جرم در فاز مایع باشد چندان نسبت به سیستم‌های متداول دارای برتری و مزیت نیستند و بالعکس در جذب‌هایی از قبیل جذب شیمیایی که در آن مقاومت انتقال جرم عمدها در فاز گاز می‌باشد از کارایی بسیار بهتری نسبت به سیستم‌های متداول برخوردارند.

کلمات کلیدی: راکتورهای دارای جریان‌های برخورده ، مدلسازی ریاضی، جذب گاز، غیر همدما، ضریب انتقال

جرم حجمی

فهرست مطالب

عنوان		صفحه
فصل اول: آشنایی با اصول عملکرد، مزیت‌ها و کاربردهای راکتورهای دارای جریان‌های برخوردي		
۱-	(۱) راکتورهای دارای جریان‌های برخوردی و ویژگی‌های آن‌ها.....	۲
۱-	(۲) بهینه‌سازی فرآیندها و اساس جریان‌های برخوردی.....	۳
۱-	(۱-۲) شاخص‌های راندمان در فرآیندهای انتقال.....	۳
۱-	(۳) طبقه‌بندی راکتورهای با جریان‌های برخوردی.....	۸
۱-	(۴) تئوری رفتار هیدرودینامیکی انواع جریان.....	۱۶
۱-	(۱) جریان‌های برخوردی تکفاز.....	۱۶
۱-	(۲) تئوری رفتار یک ذره مجزا.....	۱۷
۱-	(۳) تئوری رفتار سیستم‌های چند ذره‌ای.....	۱۸
۱-	(۴) کاربردها و تحقیقات صورت گرفته بر روی راکتورهای دارای جریان برخوردی.....	۱۸
۱-	(۱) فرآیندهای خشک کردن.....	۱۹
۱-	(۲) فرآیندهای احتراق.....	۲۱
۱-	(۳) فرآیندهای جامد - مایع.....	۲۲
۱-	(۴) فرآیندهای گاز - جامد.....	۲۳
۱-	(۵) فرآیندهای گاز - مایع.....	۲۴
۱-	(۶) فرآیندهای مایع - مایع.....	۳۰
فصل دوم: جذب گاز		
۱-	(۱) عملیات جذب.....	۳۴
۱-	(۱-۱) مدل انتقال جرم دو فیلمی برای سیستم‌های گاز-مایع.....	۳۶

عنوان	صفحه
۱-۱-۱-۲) معادله سرعت برای انتقال جرم یا جذب فیزیکی جزء A	۳۸
۲-۱-۱-۲) معادله سرعت برای انتقال جرم همراه با واکنش شیمیایی	۳۹
۳-۱-۱-۲) فاکتور پیشرفت واکنش	۴۰
۴-۱-۱-۲) طبقه‌بندی جذب همراه با واکنش بر اساس محل واکنش شیمیایی	۴۰
۵-۱-۱-۲) عدد هاتا معیاری برای تعیین ناحیه سینتیکی	۴۳
۲-۱-۲) روابط مربوط به محاسبه فاکتور پیشرفت واکنش در حالت‌های مختلف از سرعت واکنش	۴۳
۲-۲) جذب گاز به کمک جریان‌های برخورده	۴۸
۱-۲-۲) تطبیق جریان‌های برخورده برای سیستم‌های واکنشی گاز - مایع	۴۸
۲-۲-۲) تحقیقات اخیر	۵۰
۳-۲-۲) تجهیزات جذب	۵۰
۱-۳-۲-۲) اتمایزر (افشانک)	۵۰
۲-۳-۲-۲) ساختار محفظه جذب	۵۱
۴-۲-۲) نتایج مهم تحقیقات	۵۴
۱-۴-۲-۲) مطالعات آزمایشگاهی جهت تایید افزایش شدت جذب با جریان‌های برخورده	۵۵
۲-۴-۲-۲) ضریب انتقال جرم	۵۵
۳-۴-۲-۲) دیگر نتایج	۵۶

فصل سوم: مدلسازی ریاضی

۱-۳) مدلسازی ریاضی جذب فیزیکی	۶۰
۲-۱-۱-۳) مدلسازی ریاضی بر مبنای مدل راکتور با جریان قالبی	۶۱
۱-۱-۱-۳) معادله موازنۀ جرم جزئی برای جزء جذب‌شونده در فاز گاز	۶۱

عنوان		صفحه
۳-۱-۱-۳) معادله موازنۀ انرژی برای فاز گاز.....	۶۳	
۳-۱-۱-۳) معادله موازنۀ انرژی برای قطره مایع.....	۶۴	
۴-۱-۱-۳) معادله تغییرات رطوبت گاز.....	۶۴	
۵-۱-۱-۳) معادله تغییرات اندازه قطرات.....	۶۵	
۶-۱-۱-۳) معادله موازنۀ جرم جزئی برای تجمع جزء جذب‌شونده در قطره مایع.....	۶۵	
۷-۱-۱-۳) معادله موازنۀ مومنتوم برای قطره مایع.....	۶۵	
۲-۱-۳) مدلسازی ریاضی بر مبنای مدل مخزن‌های همزده سری.....	۶۷	
۱-۲-۱-۳) معادلات حاکم بر مدل مخزن‌های همزده سری.....	۶۷	
۱-۱-۲-۱-۳) معادله موازنۀ جرم جزئی برای جزء جذب‌شونده در فاز گاز.....	۶۷	
۲-۱-۲-۱-۳) معادله موازنۀ انرژی برای فاز گاز.....	۶۸	
۳-۱-۲-۱-۳) معادله موازنۀ انرژی برای قطره مایع.....	۶۸	
۴-۱-۲-۱-۳) معادله موازنۀ جرم برای رطوبت سیستم.....	۶۹	
۵-۱-۲-۱-۳) معادله موازنۀ جرم برای قطره مایع.....	۶۹	
۶-۱-۲-۱-۳) معادله موازنۀ جرم جزئی برای جزء جذب‌شونده تجمعی در قطره مایع.....	۶۹	
۲-۲-۱-۳) کاربرد داده‌های زمان ماند برای تعیین پارامترهای مدل مخزن‌های همزده سری.....	۷۰	
۳-۱-۳) مدلسازی ریاضی بر مبنای آنالیز احتمال Markov-Chain.....	۷۱	
۱-۳-۱-۳) آنالیز احتمال Markov-Chain.....	۷۱	
۲-۳-۱-۳) مفاهیم اصلی مدل Markov-Chain.....	۷۱	
۳-۱-۳)تابع احتمال برخورد قطرات.....	۷۴	
۴-۳-۱-۳) رابطه‌ی بین بردارهای حالت RTD و Markov-Chain.....	۷۵	

عنوان	صفحه
۵-۳-۱-۳) کاربرد آنالیز احتمال RTD برای راکتورهای دلایی جریان‌های برخورده	۷۷
۶-۳-۱-۳) مدلسازی R و Δt	۷۷
۷-۳-۱-۳) معادلات حاکم در حالت استفاده از آنالیز احتمال Markov-Chain	۷۹
۸۱) کاربرد داده‌های زمان ماند برای تعیین پارامترهای آنالیز احتمال Markov-Chain	۸۱
۸۱) مدلسازی ریاضی جذب شیمیایی	۲-۳
۸۲) مدلسازی ریاضی بر مبنای مدل راکتور با جریان قالبی	۱-۲-۳
۸۲) معادله موازنۀ جرم جزئی برای جزء جذب‌شونده در فاز گاز	۱-۱-۲-۳
۸۳) معادله موازنۀ انرژی برای فاز گاز	۲-۱-۲-۳
۸۴) معادله موازنۀ انرژی برای قطره مایع	۳-۱-۲-۳
۸۴) معادله موازنۀ مومنتوم برای قطره مایع	۴-۱-۲-۳
۸۵) فاکتور پیشرفت واکنش	۵-۱-۲-۳
۸۵) جذب گاز در یک قطره کروی مایع	۱-۵-۱-۲-۳
۸۸) جذب شیمیایی گاز در یک قطره کروی مایع	۲-۵-۱-۲-۳
۹۰) مدلسازی ریاضی بر مبنای مدل مخزن‌های همزده سری	۲-۲-۳
۹۰) معادله موازنۀ جرم جزئی برای جزء جذب‌شونده در فاز گاز	۱-۲-۲-۳
۹۰) معادله موازنۀ انرژی برای فاز گاز	۲-۲-۲-۳
۹۱) معادله موازنۀ انرژی برای قطره مایع	۳-۲-۲-۳
۹۱) مدلسازی ریاضی بر مبنای آنالیز احتمال Markov-Chain	۳-۲-۳
۹۲) تعیین پارامترهای به کار رفته در مدلسازی	۳-۳
۹۲) توزیع اندازه قطرات	۱-۳-۳

عنوان		صفحه
۲-۳-۴) ضرایب انتقال جرم و حرارت.....	۹۳	
۳-۳-۳) سطح تماس موثر.....	۹۴	
۴-۳-۳) ضریب دراگ.....	۹۴	
۵-۳-۳) دانسیته محلول آمین.....	۹۵	
۶-۳-۳) ویسکوزیته محلول آمین.....	۹۵	
۷-۳-۳) ضریب نفوذ دیاکسید کربن در محلول آمین.....	۹۶	
۸-۳-۳) دانسیته مخلوط گازی.....	۹۷	
۹-۳-۳) ویسکوزیته مخلوط گازی.....	۹۷	
۱۰-۳-۳) ضریب نفوذ CO_2 در مخلوط گازی.....	۹۸	
۱۱-۳-۳) سینتیک واکنش.....	۹۹	
۴-۳) حل مدل‌ها و محاسبات عددی.....	۱۰۰	

فصل چهارم: نتایج

۱-۴) تحلیل نتایج حاصل از داده‌های RTD جهت تعیین پارامترهای مدل مخزن‌های همزده سری	۱۰۲
۲-۴) تحلیل نتایج حاصل از داده‌های RTD جهت تعیین پارامترهای آنالیز احتمال Markov-Chain	۱۰۳
۳-۴) بررسی دقیق مدل‌های ریاضی ارائه شده در حالت جذب فیزیکی	۱۰۸
۴-۴) بررسی دقیق مدل‌های ریاضی ارائه شده در حالت جذب شیمیایی	۱۱۴
۵-۴) بررسی تاثیر پارامترهای عملیاتی بر عملکرد جذب کننده در حالت جذب فیزیکی	۱۱۷
۶-۴) بررسی تاثیر پارامترهای عملیاتی بر عملکرد جذب کننده در حالت جذب شیمیایی	۱۲۳

فصل پنجم: نتیجه‌گیری و پیشنهادات

۱-۵) نتیجه‌گیری.....	۱۲۵
----------------------	-----

عنوان	صفحة
۲-۵) پیشنهادات	۱۲۶
منابع و مأخذ	۱۲۷

فهرست شکل‌ها

عنوان	صفحه
شکل (۱-۱) اساس جریان‌های برخورده (Tamir, 1994)	۲
شکل (۲-۱) شاخص راندمان در سیستم الکتروشیمیایی SS و IS (Oren et al., 1992)	۸
شکل (۳-۱) آرایش‌های مختلف راکتورهای با جریان‌های برخورده (Tamir, 1994)	۹
شکل (۴-۱) راکتور با جریان برخورده متشکل از دو سطح برخورد متحرک (Elperin & Meltzer, 1975)	۱۳
شکل (۵-۱) شماتیک راکتور با جریان‌های برخورده به صورت افقی و چرخان (Kuts et al., 1974)	۱۴
شکل (۶-۱) شماتیک راکتور با جریان‌های برخورده به صورت عمودی و چرخان (Kuts et al., 1974)	۱۵
شکل (۷-۱) شماتیک راکتورهای با جریان‌های برخورده به صورت چند مرحله‌ای (Elperin, 1967)	۱۶
شکل (۸-۱) مسیر حرکت ذره درون راکتور دارای جریان برخورده به صورت محوری (Tamir, 1994)	۱۷
شکل (۱-۲). شماتیک توزیع غلظت در مدل دو فیلمی برای انتقال جرم A از فاز گاز به مایع (بدون واکنش).....	۳۷
شکل (۲-۲). شماتیک توزیع غلظت در مدل دو فیلمی برای انتقال جرم A از فاز گاز به مایع (همراه با واکنش).....	۳۹
شکل (۳-۲). انواع سیستم‌های گاز-مایع همراه با واکنش شیمیایی (Leven Spiel, 1999)	۴۲
شکل (۴-۲). شماتیک توزیع غلظت در مدل دو فیلمی برای واکنش در فیلم و توده مایع.....	۴۳
شکل (۵-۲). مقادیر فاکتور پیشرفت واکنش بر مبنای محاسبات عددی (Leven Spiel, 1999)	۴۶
شکل (۶-۲). تماس‌دهنده‌های مخزن و برج جهت واکنش‌های گاز - مایع (Leven Spiel, 1999)	۴۷
شکل (۷-۲). شماتیک اتمایزرهای بادی (Tamir, 1994)	۵۱
شکل (۸-۲). شماتیک جذب‌کننده‌های دارای دو جریان برخورده (Tamir, 1994)	۵۲
شکل (۹-۲). شماتیک جذب‌کننده‌ی حبابی دارای دو جریان برخورده (Tamir et al., 1990)	۵۳
شکل (۱۰-۲). شماتیک راکتور حلقه‌ای دارای جریان برخورده (Gaddis & Vogelpohl, 1992)	۵۴
شکل (۱-۳). شماتیک جذب‌کننده دارای جریان‌های برخورده محوری.....	۵۸
شکل (۲-۳) مسیر فرضی حرکت قطره درون راکتور دارای جریان‌های برخورده محوری جهت مدلسازی فرآیند.....	۵۹

عنوان

صفحه

..... شکل (۳-۳). شماتیک دو جذب کننده تک جریانی	۶۰
..... شکل (۴-۳). آرایش مخازن چایگزین جذب کننده دارای جریان های برخوردي با آرایش مخزن های همزده سري	۶۷
..... شکل (۵-۳). شماتیک یک مخزن همزده سري	۷۵
..... شکل (۶-۳). شماتیک جذب گاز در یک قطره کروي	۸۵
..... شکل (۱-۴). مقایسه زمان ماند تجربی قطرات در جذب کننده دارای جریان های برخوردي محوري	
..... شکل (۲-۴). نمونه ای از آرایش های انتخابی آنالیز Markov-Chain جهت مقایسه RTD با مدل مخزن های همزده سري (Sohrabi & Jamshidi, 1997)	۱۰۲
..... شکل (۳-۴). مقایسه زمان ماند تجربی قطرات در جذب کننده دارای جریان های برخوردي محوري با زمان ماند منتج از آرایش منتخب مربوط به آنالیز Markov-Chain (Sohrabi & Jamshidi, 1997)	۱۰۶
..... شکل (۴-۴). تاثير پaramتر R بر غلظت ردياب در مخازن موجود در آرایش منتخب مربوط به آنالیز احتمال Markov-Chain	۱۰۷
..... شکل (۵-۴). بررسی تاثير طول دستگاه جذب کننده بر ميزان سرعت جذب گاز (a) جذب CO_2 در آب و (b) جذب استون در آب	۱۱۰
..... شکل (۶-۴). بررسی تاثير سرعت جریان های گاز و مایع بر ميزان سرعت جذب گاز و مقایسه نتایج مدل با نتایج آزمایشگاهی (Tamir, 1986; Tamir & Herskowits, 1985)	۱۱۱
..... شکل (۷-۴). بررسی تاثير سرعت جریان های گاز و مایع بر ميزان سرعت جذب گاز CO_2 در جذب کننده تک جریانی و مقایسه نتایج مدل با نتایج آزمایشگاهی (Tamir & Herskowits, 1985)	۱۱۳
..... شکل (۸-۴). بررسی شدت تقويت سرعت جذب گاز CO_2 در سистем داراي دو جريان برخوردي و مقایسه نتایج مدل با نتایج آزمایشگاهی (Tamir & Herskowits, 1985)	۱۱۴
..... شکل (۹-۴). بررسی تاثير سرعت جریان گاز بر ميزان درصد تبدیل محلول آبی MEA با انواع مدلها و مقایسه با نتایج تجربی (Sohrabi & Jamshidi, 1997)	۱۱۵
..... شکل (۱۰-۴). بررسی تاثير طول دستگاه جذب کننده بر ميزان درصد تبدیل محلول آبی MEA با انواع مدلها و مقایسه با نتایج تجربی (Sohrabi & Jamshidi, 1997)	۱۱۶

عنوان

صفحه

شکل (۱۱-۴). تغییرات سرعت قطره بر حسب زمان و طول دستگاه بر مبنای شبیه‌سازی مدل راکتور با جریان قالبی.....	۱۱۸
شکل (۱۲-۴). تغییرات دمای گاز بر حسب زمان.....	۱۱۹
شکل (۱۳-۴). تغییرات رطوبت گاز بر حسب زمان.....	۱۱۹
شکل (۱۴-۴). بررسی تاثیر سرعت گاز بر جزء مولی نهایی CO_2 در فاز گاز بر مبنای شبیه‌سازی مدل راکتور با جریان قالبی.....	۱۲۰
شکل (۱۵-۴). بررسی تاثیر دمای گاز بر جزء مولی نهایی CO_2 در فاز گاز بر مبنای شبیه‌سازی مدل راکتور با جریان قالبی.....	۱۲۱
شکل (۱۶-۴). نحوه تغییرات ضریب انتقال حرارت قطره در طول دستگاه بر مبنای شبیه‌سازی مدل راکتور با جریان قالبی.....	۱۲۲
شکل (۱۷-۴). نحوه تغییرات ضریب انتقال جرم قطره در طول دستگاه بر مبنای شبیه‌سازی مدل راکتور با جریان قالبی.....	۱۲۲
شکل (۱۸-۴). تغییرات دمای گاز و قطرات بر حسب زمان بر مبنای شبیه‌سازی مدل راکتور با جریان قالبی.....	۱۲۳
شکل (۱۹-۴). تغییرات درصد تبدیل قطره محلول آبی MEA در طول دستگاه بر مبنای شبیه‌سازی مدل راکتور با جریان قالبی.....	۱۲۴

فهرست جداول

صفحه	عنوان
۲۰	جدول (۱-۱) مقایسه بین انواع خشک کن و ISD
۲۷	جدول (۲-۱) ضرائب انتقال جرم برای جذب کننده های مختلف
۲۹	جدول (۳-۱) توان ورودی برای جذب کننده های مختلف
۳۰	جدول (۴-۱) مقایسه دستگاه های ایجاد کننده ای امولسیون
۳۲	جدول (۵-۱) ضرائب انتقال جرم برای استخراج کننده های مختلف
۳۳	جدول (۶-۱) توان ورودی در استخراج کننده های مختلف
۴۷	جدول (۱-۲). خصوصیات تماس دهنده های گاز - مایع (Leven Spiel, 1999)
۴۹	جدول (۲-۱). خصوصیات واکنش ها در فاز مایع با مقدار متنوع Ha
۵۶	جدول (۳-۱). ضرایب انتقال جرم حجمی در جذب کننده های دارای دو جریان برخورده
۸۰	جدول (۳-۲). معادلات حاکم بر آنالیز احتمال Markov-Chain جهت جذب فیزیکی
۹۲	جدول (۳-۳). معادلات حاکم بر آنالیز احتمال Markov-Chain جهت جذب شیمیایی
۹۵	جدول (۳-۴). مقدار MEA _i و b _i برای V _i و آب
۱۰۵	جدول (۴-۱). ماتریس های احتمال گذر آرایش های شکل (۲-۴)
۱۰۹	جدول (۴-۲). بررسی تاثیر طول دستگاه جذب کننده بر میزان سرعت جذب CO ₂
۱۱۲	جدول (۴-۳). بررسی تاثیر سرعت جریان های گاز و مایع بر میزان سرعت جذب گاز CO ₂ و مقایسه نتایج مدل ها با نتایج آزمایشگاهی (Tamir & Herskowitzs, 1985)
۱۱۷	جدول (۴-۴). سطح بین فازی فازهای گاز و مایع در جذب واکنشی گاز CO ₂ و محلول آبی MEA

علامه:

m^2 / s	شتاب حرکت قطره	\bar{a}_e
m^2	سطح تصویر قطره	A_D
m^2	سطح کل قطرات کلاس آم	A_{Di}
$Kmol / m^3$	غلظت	C
-	ضریب دراگ	C_f
$J/kg \cdot ^\circ C$	گرمای ویژه مخلوط گاز	C_s
$J/kg \cdot ^\circ C$	گرمای ویژه گاز	C_{PB}
$J/kg \cdot ^\circ C$	گرمای ویژه قطره	C_{PD}
m^2/s	ضریب نفوذ A در فاز گاز	D_{Ag}
m^2/s	ضریب نفوذ A در فاز مایع	D_{AL}
m	قطر جذب کننده	D_{cell}
m	قطر قطره کلاس آم	D_i
m	قطر اولیه قطره کلاس آم	D_{ii}
-	فاکتور پیشرفت واکنش	E
$Kg molgas / s$	دبي گاز	G
$Kg dry gas / s$	دبي گاز خشک	G_y
$W/m^2 \cdot ^\circ C$	ضریب انتقال حرارت قطره کلاس آم	h_{Di}
$J/Kg dry gas$	آنالپی	H
bar / mole fraction	ثابت هنری	H_A
$Kg vapor / Kg dry gas$	رطوبت	H_u
-	شاخص تقویت انتقال حرارت	I_{heat}
-	شاخص تقویت انتقال جرم	I_{mass}
$mol / m^2 \cdot s$	ضریب انتقال جرم در فاز گاز جهت تبخیر	k_y
$mol / m^2 \cdot s$	ضریب انتقال جرم در فاز گاز جهت جذب	k_{yB}
$W / m \cdot ^\circ C$	ضریب انتقال حرارت هدایتی	k'_a
m/s	ضریب انتقال جرم در فاز مایع	k_L
m/s	ضریب کلی انتقال جرم حجمی در طرف مایع	K_L

m/s	ضریب انتقال جرم در فاز گاز	k_G
m/s	ضریب کلی انتقال جرم حجمی در طرف گاز	K_G
m	فاصله بین دو نازل	L
kg	جرم قطره نام	m_{Di}
$Kg/Kg mol$	جرم مولکولی	M
-	تعداد دسته اندازه قطرات	N
$Kmol/m^2.s$	شار جذب از قطره کلاس نام	N_{Ai}
$Kmol/m^2.s$	شار تبخیر در قطره کلاس نام	N_{Bi}
bar	فشار جزئی اشباع CO_2 در سطح قطره	P_B^*
-	درصد حجمی کلاس نام قطرات	P_i
bar	فشار هوا	P_t
m^3/s	سرعت جریان هوا	Q_{air}
m^3/s	سرعت جریان گاز	Q_g
Kg/s	دبی جرمی آب	Q_w
m^3/s	دبی حجمی آب	Q'_w
$Kmol/s$	سرعت جذب گاز در سیستم دو جریان برخورده	R_1
$Kmol/s$	سرعت جذب گاز در سیستم تک جریانی	R_2
s	زمان متوسط بین برخوردهای موفق	t_m
s	زمان ماند متوسط	\bar{t}
K	دما مبنا	T_o
K	دمای قطره کلاس نام	T_{Di}
K	دمای گاز	T_g
m/s	سرعت هوا	V_a
m/s	سرعت قطره نام	V_{Di}
m^3	حجم جذب کننده	V_r
Kg/s	دبی جرمی مایع	W_D
$kg mol/kg$	جزء مولی جذب شونده در قطره بر مبنای جرم قطره	x_A
-	جزء مولی جذب شونده در قطره	X_A
-	کسر مولی جذب شونده در فاز گاز	y_A
-	کسر مولی رطوبت در فاز گاز	y_B
-	جزء مولی اشباع جذب شونده در سطح قطره در فاز گاز	y_A^*

کسر مولی بخار اشباع جزء جذب شونده در حال تعادل روی سطح قطره	y_B^*
طول جذب کننده با جریان های پرخوردی	z
تعداد قطرات	Z
تعداد قطرات اولیه	Z_0

علائم اختصاری یونانی:

تابع توزیع حجمی فرکانسی	$f(D)$
چگالی هوا	ρ_a
چگالی مایع	ρ_L
گرادیان دما	ΔT
ویسکوزیته گاز	μ_a
ویسکوزیته سینماتیک فاز گاز	ν_a
گرمای نهان تبخیر	λ_o
واریانس	σ^2

اعداد بدون بعد:

عدد اولر	Eu
عدد هاتا	Ha
عدد پرانتل	Pr
عدد رینولدز	Re
عدد اشمیت	Sc
عدد شروود	Sh

زیروندها:

ماده جذب شونده	A
ماده جذب کننده	B
حالت مرجع	o
کلاس نام	i